

Flavonの質量の制限とコライダー物理

清水 勇介 (広島大学)

2016年9月8日

基研研究会 素粒子物理学の進展2016@京都大学 基礎物理学研究所

共同研究者：村松祐 (KIAS→武漢)、野村敬明 (KIAS)

JHEP 1603 (2016) 192



概要

1. 導入

- ニュートリノ振動とレプトンの世代混合
- 非可換離散対称性

2. レプトンのフレーバーモデル

3. フレーバー現象論とコライダー物理

4. まとめ

1. 導入

- 素粒子標準模型 $SU(3)_Q \times SU(2)_L \times U(1)_Y$

Particle	First	Second	Third	Mixing matrix
Quark	$\begin{pmatrix} u \\ d \end{pmatrix}_L$ u_R^c d_R^c	$\begin{pmatrix} c \\ s \end{pmatrix}_L$ c_R^c s_R^c	$\begin{pmatrix} t \\ b \end{pmatrix}_L$ t_R^c b_R^c	CKM matrix (Cabibbo-Kobayashi-Maskawa)
Lepton	$\begin{pmatrix} \nu_e \\ e \end{pmatrix}_L$ e_R^c	$\begin{pmatrix} \nu_\mu \\ \mu \end{pmatrix}_L$ μ_R^c	$\begin{pmatrix} \nu_\tau \\ \tau \end{pmatrix}_L$ τ_R^c	PMNS matrix (Pontecorvo-Maki-Nakagawa-Sakata)

- 世代の謎

- 素粒子の質量は世代ごとに違う
- 素粒子の世代混合はレプトンとクォークで大きく異なっている

- ニュートリノ振動とレプトンの世代混合

- ニュートリノのフレーバー、質量固有状態と時間発展

$$|\nu_\alpha\rangle = \sum_i U_{\alpha j} |\nu_j\rangle, \quad |\nu_\alpha(t)\rangle = \sum_i U_{\alpha j} |\nu_j\rangle e^{-iE_j t}$$

- 2世代の場合を考える (世代混合角 θ)

$$|\nu_e(t)\rangle = \cos\theta |\nu_1\rangle e^{-iE_1 t} + \sin\theta |\nu_2\rangle e^{-iE_2 t}$$

$$|\nu_\mu(t)\rangle = -\sin\theta |\nu_1\rangle e^{-iE_1 t} + \cos\theta |\nu_2\rangle e^{-iE_2 t}$$

- $\nu_e \rightarrow \nu_\mu$ の遷移確率

$$P(\nu_e \rightarrow \nu_\mu; t) = |\langle \nu_\mu | \nu_e(t) \rangle|^2 = \sin^2 2\theta \sin^2 \frac{E_2 - E_1}{2} t$$

$$\simeq \sin^2 2\theta \sin^2 \frac{\Delta m^2 L}{4E}, \quad \Delta m^2 = m_2^2 - m_1^2$$

$$E_j = \sqrt{p^2 + m_j^2} \simeq p + \frac{m_j^2}{2E}$$



- ニュートリノの質量二乗差

$$\Delta m_{\text{sol}}^2 \equiv m_2^2 - m_1^2, \quad |\Delta m_{\text{atm}}^2| \equiv |m_3^2 - m_1^2|.$$

- ニュートリノの質量階層性

- 順階層性 (NH) $\rightarrow m_1 < m_2 < m_3$
- 逆階層性 (IH) $\rightarrow m_3 < m_1 < m_2$
- 縮退型 (QD) $\rightarrow m_1 \sim m_2 \sim m_3$

- Higgs機構を通じて標準模型のフェルミオンは質量を獲得する

$$\mathcal{L}_Y = y\bar{\psi}_L H \psi_R \rightarrow y\langle H \rangle \bar{\psi}_L \psi_R = m_f \bar{\psi}_L \psi_R.$$

標準模型では、右巻きニュートリノが存在しないため、
ニュートリノは質量を持つことができない

シーソー機構

Minkowski '77; Gell-Mann, Ramond, Slansky; Yanagida; Glashow; Mohapatra, Senjanovic '79

- 右巻きマヨラナニュートリノを3世代導入する

$$M = \begin{pmatrix} 0 & M_D \\ M_D^T & M_N \end{pmatrix} \xrightarrow{\text{対角化}} M_\nu \simeq -M_D^T M_N^{-1} M_D$$

- $M_N \gg M_D$ ならば、左巻きマヨラナニュートリノは小ささがゼロではない質量を獲得する

レプトンの世代混合行列 (PMNS行列)

$$U \equiv \begin{pmatrix} 1 & 0 & 0 \\ 0 & c_{23} & s_{23} \\ 0 & -s_{23} & c_{23} \end{pmatrix} \begin{pmatrix} c_{13} & 0 & s_{13}e^{-i\delta_{\text{CP}}} \\ 0 & 1 & 0 \\ -s_{13}e^{i\delta_{\text{CP}}} & 0 & c_{13} \end{pmatrix} \begin{pmatrix} c_{12} & s_{12} & 0 \\ -s_{12} & c_{12} & 0 \\ 0 & 0 & 1 \end{pmatrix} \begin{pmatrix} e^{i\alpha} & 0 & 0 \\ 0 & e^{i\beta} & 0 \\ 0 & 0 & 1 \end{pmatrix}$$

$$= \begin{pmatrix} c_{12}c_{13} & s_{12}c_{13} & s_{13}e^{-i\delta_{\text{CP}}} \\ -s_{12}c_{23} - c_{12}s_{23}s_{13}e^{i\delta_{\text{CP}}} & c_{12}c_{23} - s_{12}s_{23}s_{13}e^{i\delta_{\text{CP}}} & s_{23}c_{13} \\ s_{12}s_{23} - c_{12}c_{23}s_{13}e^{i\delta_{\text{CP}}} & -c_{12}s_{23} - s_{12}c_{23}s_{13}e^{i\delta_{\text{CP}}} & c_{23}c_{13} \end{pmatrix} \begin{pmatrix} e^{i\alpha} & 0 & 0 \\ 0 & e^{i\beta} & 0 \\ 0 & 0 & 1 \end{pmatrix}$$

- δ_{CP} : ディラック位相、 α, β : マヨラナ位相

- ニュートリノ実験

- ニュートリノの原子炉実験はゼロでない θ_{13} を示唆している

- Daya Bayの実験結果： $\sin^2 2\theta_{13} = 0.084 \pm 0.005$

- RENO, Double Chooz, T2K実験の結果と無矛盾

- ニュートリノ振動のglobal fitの解析結果

M. C. Gonzalez-Garcia, M. Maltoni, T. Schwetz, JHEP 1411 (2014) 052

parameter	best fit	1σ	3σ
$\sin^2 \theta_{12}$	0.304	0.292-0.317	0.270-0.344
$\sin^2 \theta_{23}$	0.452	0.424-0.504	0.382-0.643
	0.579	0.542-0.604	0.389-0.644
$\sin^2 \theta_{13}$	0.0218	0.0208-0.0228	0.0186-0.0250
	0.0219	0.0209-0.0230	0.0188-0.0251
$\Delta m_{\text{sol}}^2 [10^{-5} \text{eV}^2]$	7.50	7.33-7.69	7.02-8.09
$ \Delta m_{\text{atm}}^2 [10^{-3} \text{eV}^2]$	2.457	2.410-2.504	2.317-2.607
	2.449	2.401-2.496	2.307-2.590
$\delta_{\text{CP}} [^\circ]$	306	236-345	0-360
	254	192-317	

- レプトンとクォークの世代混合の違い

- レプトンの世代混合：PMNS行列

$$|U_{\text{PMNS}}| \simeq \begin{pmatrix} 0.825 & 0.545 & 0.148 \\ 0.462 & 0.587 & 0.665 \\ 0.326 & 0.598 & 0.732 \end{pmatrix}$$

レプトンの世代混合は θ_{13} を除いて大きい

$$\sin \theta_{13} \simeq 0.148$$

- クォークの世代混合：CKM行列 (PDG 2014)

$$|V_{\text{CKM}}| \simeq \begin{pmatrix} 0.974 & 0.225 & 0.00355 \\ 0.225 & 0.973 & 0.0414 \\ 0.00886 & 0.0405 & 0.999 \end{pmatrix}$$

クォークの世代混合はカビボ角 λ_C を除いて小さい

$$\lambda_C \simeq 0.225$$

- レプトンとクォークの世代混合の違いを説明することが研究の動機

- 非可換離散対称性

- 原子炉実験が θ_{13} を観測する前まで、tri-bimaximal mixing (TBM) という考え方が実験とよく合っていた

P. F. Harrison, D. H. Perkins and W. G. Scott, Phys. Lett. B 530 (2002) 167

$$U_{\text{PMNS}} = V_{\text{TBM}} = \begin{pmatrix} \frac{2}{\sqrt{6}} & \frac{1}{\sqrt{3}} & 0 \\ -\frac{1}{\sqrt{6}} & \frac{1}{\sqrt{3}} & \frac{1}{\sqrt{2}} \\ \frac{1}{\sqrt{6}} & -\frac{1}{\sqrt{3}} & \frac{1}{\sqrt{2}} \end{pmatrix},$$

$$|U_{e2}| = \frac{1}{\sqrt{3}}, \quad |U_{\mu 3}| = \frac{1}{\sqrt{2}}, \quad |U_{e3}| = 0$$

- 左巻きマヨラナニュートリノの質量行列 (荷電レプトンは対角的)

$$M_{\nu}^{\text{TBM}} = \frac{m_1 + m_3}{2} \begin{pmatrix} 1 & 0 & 0 \\ 0 & 1 & 0 \\ 0 & 0 & 1 \end{pmatrix} + \frac{m_2 - m_1}{3} \begin{pmatrix} 1 & 1 & 1 \\ 1 & 1 & 1 \\ 1 & 1 & 1 \end{pmatrix} + \frac{m_1 - m_3}{2} \begin{pmatrix} 1 & 0 & 0 \\ 0 & 0 & 1 \\ 0 & 1 & 0 \end{pmatrix}$$

- TBMは非可換離散群により導出することができる

H. Ishimori, T. Kobayashi, H. Ohki, H. Okada, Y. S., and M. Tanimoto,
Prog. Theor. Phys. Suppl. 183 (2010) 1; Lect. Notes Phys. 858 (2012) 1

- A_4 群

正四面体の対称群もしくは4つの要素の偶置換の群である
群の要素の数：12

• A_4 の既約表現：1, 1', 1'', 3_S, 3_A

• 掛け算則：1 ⊗ 1 = 1' ⊗ 1'' = 1'' ⊗ 1' = 1

$$1 \otimes 1' = 1' \otimes 1 = 1'' \otimes 1'' = 1'$$

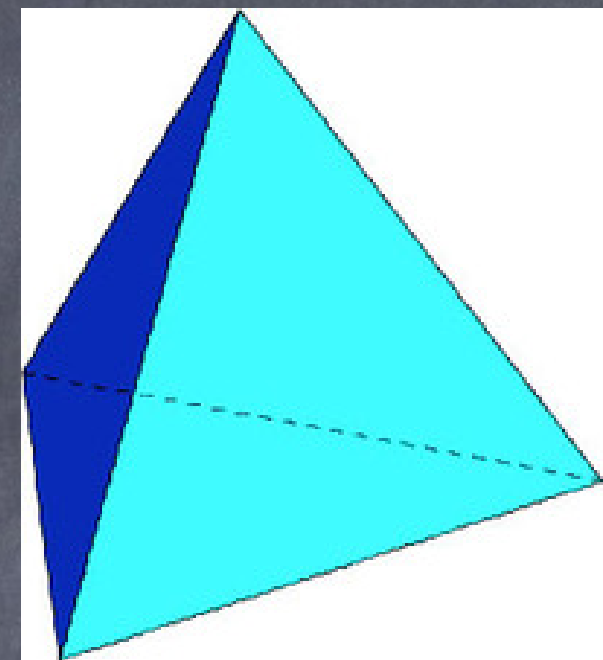
$$1 \otimes 1'' = 1'' \otimes 1 = 1' \otimes 1' = 1''$$

$$3 \otimes 3 = 1 \oplus 1' \oplus 1'' \oplus 3_S \oplus 3_A$$

$$(a_1, a_2, a_3)_3 \otimes (b_1, b_2, b_3)_3 = (a_1b_1 + a_2b_3 + a_3b_2)_1 \oplus (a_3b_3 + a_1b_2 + a_2b_1)_{1'}$$

$$\oplus (a_2b_2 + a_1b_3 + a_3b_1)_{1''} \oplus \frac{1}{3} \begin{pmatrix} 2a_1b_1 - a_2b_3 - a_3b_3 \\ 2a_3b_3 - a_1b_2 - a_2b_1 \\ 2a_2b_2 - a_1b_3 - a_3b_1 \end{pmatrix}_{3_S} \oplus \frac{1}{2} \begin{pmatrix} a_2b_3 - a_3b_2 \\ a_1b_2 - a_2b_1 \\ a_1b_3 - a_3b_1 \end{pmatrix}_{3_A}$$

• A_4 不変な既約表現：1



2. レプトンのフレーバーモデル

- A_4 ニュートリノモデル

- A_4 対称性を用いて tri-bimaximal mixing (TBM) を導くことができる

G. Altarelli and F. Feruglio, Nucl. Phys. B 720 (2005) 64

- $SU(2)$, A_4 , Z_3 の荷電の割り当て ($\omega = e^{\frac{2}{3}\pi i}$)

	$l = (l_e, l_\mu, l_\tau)$	e^c	μ^c	τ^c	$h_{u,d}$	ϕ_T	ϕ_S	ξ
$SU(2)$	2	1	1	1	2	1	1	1
A_4	3	1	1''	1'	1	3	3	1
Z_3	ω	ω^2	ω^2	ω^2	1	1	ω	ω

- $A_4 \times Z_3$ 不変な湯川相互作用のスーパーポテンシャル

$$w_\ell = y_e (e^c)_1 (l\phi_T)_1 h_d / \Lambda + y_\mu (\mu^c)_{1''} (l\phi_T)_{1'} h_d / \Lambda + y_\tau (\tau^c)_{1'} (l\phi_T)_{1''} h_d / \Lambda,$$

$$+ [y_{\phi_S} (\phi_S)_3 (ll)_3 + y_\xi (\xi)_1 (ll)_1] h_u h_u / \Lambda^2$$

- VEVとVEV alignment: $\langle h_{u,d} \rangle = v_{u,d}$, $\langle \xi \rangle = v_\xi$
 $\langle \phi_T \rangle = v_T(1, 0, 0)$, $\langle \phi_S \rangle = v_S(1, 1, 1)$

- 荷電レプトンの質量行列 (対角的)

$$M_l = \begin{pmatrix} y_e & 0 & 0 \\ 0 & y_\mu & 0 \\ 0 & 0 & y_\tau \end{pmatrix} v_T v_d$$

- 左巻きマヨラナニュートリノの質量行列 ($a = -3b$)

$$M_\nu = a \begin{pmatrix} 1 & 0 & 0 \\ 0 & 1 & 0 \\ 0 & 0 & 1 \end{pmatrix} + b \begin{pmatrix} 1 & 1 & 1 \\ 1 & 1 & 1 \\ 1 & 1 & 1 \end{pmatrix} + c \begin{pmatrix} 1 & 0 & 0 \\ 0 & 0 & 1 \\ 0 & 1 & 0 \end{pmatrix},$$

$$a = \frac{y_{\phi_S} v_S v_u^2}{\Lambda^2}, \quad b = -\frac{y_{\phi_S} v_S v_u^2}{3\Lambda^2}, \quad c = \frac{y_\xi v_\xi v_u^2}{\Lambda^2}$$

- レプトンの世代混合: **tri-bimaximal mixing**

- Altarelliらは A_4 模型において $\mathbf{1}$ だけ導入した: $\theta_{13} = 0$

$$M_\nu = a \begin{pmatrix} 1 & 0 & 0 \\ 0 & 1 & 0 \\ 0 & 0 & 1 \end{pmatrix} + b \begin{pmatrix} 1 & 1 & 1 \\ 1 & 1 & 1 \\ 1 & 1 & 1 \end{pmatrix} + c \begin{pmatrix} 1 & 0 & 0 \\ 0 & 0 & 1 \\ 0 & 1 & 0 \end{pmatrix}$$

- ニュートリノ原子炉実験の結果: $\theta_{13} \neq 0$

- 我々は $\mathbf{1}$ 以外に $\mathbf{1}'$, $\mathbf{1}''$ を導入することにより、tri-bimaximal mixing からのズレを検討した Y.S., M. Tanimoto and A. Watanabe, Prog. Theor. Phys. 126 (2011) 81

$$\mathbf{1} : \begin{pmatrix} 1 & 0 & 0 \\ 0 & 0 & 1 \\ 0 & 1 & 0 \end{pmatrix}, \quad \mathbf{1}' : \begin{pmatrix} 0 & 0 & 1 \\ 0 & 1 & 0 \\ 1 & 0 & 0 \end{pmatrix}, \quad \mathbf{1}'' : \begin{pmatrix} 0 & 1 & 0 \\ 1 & 0 & 0 \\ 0 & 0 & 1 \end{pmatrix}$$

$$\mathbf{1}'' : \begin{pmatrix} 0 & 1 & 0 \\ 1 & 0 & 0 \\ 0 & 0 & 1 \end{pmatrix} = \begin{pmatrix} 1 & 1 & 1 \\ 1 & 1 & 1 \\ 1 & 1 & 1 \end{pmatrix} - \begin{pmatrix} 0 & 0 & 1 \\ 0 & 1 & 0 \\ 1 & 0 & 0 \end{pmatrix} - \begin{pmatrix} 1 & 0 & 0 \\ 0 & 0 & 1 \\ 0 & 1 & 0 \end{pmatrix}$$

- 左巻きマヨラナニュートリノの質量行列 ($1'$)

$$M_\nu = a \begin{pmatrix} 1 & 0 & 0 \\ 0 & 1 & 0 \\ 0 & 0 & 1 \end{pmatrix} + b \begin{pmatrix} 1 & 1 & 1 \\ 1 & 1 & 1 \\ 1 & 1 & 1 \end{pmatrix} + c \begin{pmatrix} 1 & 0 & 0 \\ 0 & 0 & 1 \\ 0 & 1 & 0 \end{pmatrix} + d \begin{pmatrix} 0 & 0 & 1 \\ 0 & 1 & 0 \\ 1 & 0 & 0 \end{pmatrix}$$

- Tri-bimaximal mixingで回転させる

$$M_\nu = V_{\text{tri-bi}} \begin{pmatrix} a + c - \frac{d}{2} & 0 & \frac{\sqrt{3}}{2}d \\ 0 & a + 3b + c + d & 0 \\ \frac{\sqrt{3}}{2}d & 0 & a - c + \frac{d}{2} \end{pmatrix} V_{\text{tri-bi}}^T$$

- ニュートリノの質量二乗差

$$\Delta m_{31}^2 = -4a\sqrt{c^2 + d^2 - cd},$$

$$\Delta m_{21}^2 = (a + 3b + c + d)^2 - (a + \sqrt{c^2 + d^2 - cd})^2$$

- レプトンの世代混合行列（荷電レプトンは対角的）

$$U_{\text{PMNS}} = V_{\text{tri-bi}} \begin{pmatrix} \cos \theta & 0 & \sin \theta \\ 0 & 1 & 0 \\ -\sin \theta & 0 & \cos \theta \end{pmatrix},$$

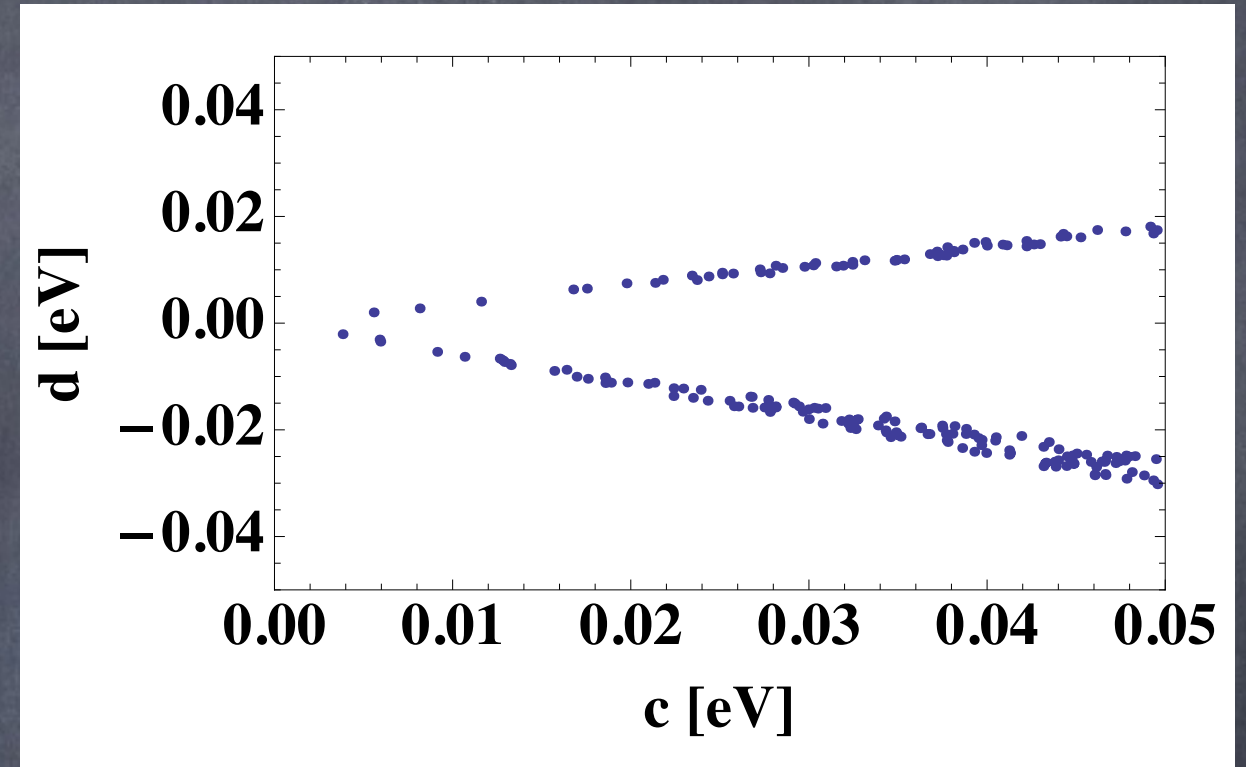
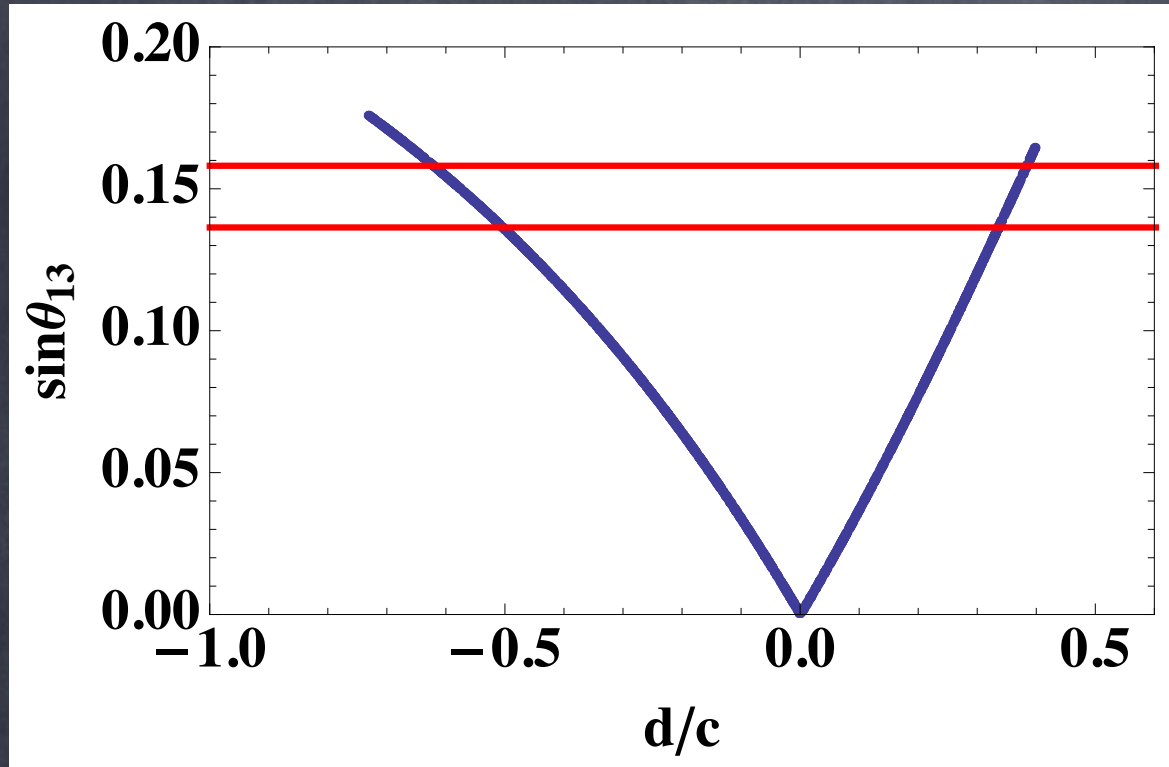
$$\tan 2\theta = \frac{\sqrt{3}d}{-2c + d}$$

- レプトンの世代混合の行列要素

$$|U_{e2}| = \frac{1}{\sqrt{3}}, \quad |U_{e3}| = \frac{2}{\sqrt{6}} |\sin \theta|, \quad |U_{\mu 3}| = \left| -\frac{1}{\sqrt{6}} \sin \theta - \frac{1}{\sqrt{2}} \cos \theta \right|$$

- $d \neq 0$ であればゼロではない θ_{13} が得られる

- 数值解析結果



- ニュートリノの原子炉実験の結果が報告される前に θ_{13} を予言した

Y.S., M. Tanimoto and A. Watanabe, Prog. Theor. Phys. 126 (2011) 81



日本物理学会第20回論文賞受賞 (2015年)

- Altarelliらの模型を改良

Y.S., M. Tanimoto and A. Watanabe, Prog. Theor. Phys. 126 (2011) 81

Y. Muramatsu, T. Nomura and Y.S., JHEP 1603 (2016) 192

	l	e^c	μ^c	τ^c	ν^c	$h_{u,d}$	ϕ_T	ϕ_S	ξ	ξ'
$SU(2)$	2	1	1	1	1	2	1	1	1	1
A_4	3	1	1''	1'	3	1	3	3	1	1'
Z_3	ω	ω^2	ω^2	ω^2	ω^2	1	1	ω^2	ω^2	ω^2

- $A_4 \times Z_3$ 不変な湯川相互作用のスーパーポテンシャル

$$w_Y \equiv w_\ell + w_D + w_N,$$

$$w_\ell = y_e(\phi_T l)_1 (e^c)_1 h_d / \Lambda + y_\mu(\phi_T l)_{1'} (\mu^c)_{1''} h_d / \Lambda + y_\tau(\phi_T l)_{1''} (\tau^c)_{1'} h_d / \Lambda,$$

$$w_D = y_D (l \nu^c)_1 h_u,$$

$$w_N = y_{\phi_S} (\phi_S)_3 (\nu^c \nu^c)_3 + y_\xi (\xi)_1 (\nu^c \nu^c)_1 + y_{\xi'} (\xi')_{1'} (\nu^c \nu^c)_{1''}$$

- 荷電レプトンとディラックニュートリノの質量行列

$$M_\ell = \frac{v_d v_T}{\Lambda} \begin{pmatrix} y_e & 0 & 0 \\ 0 & y_\mu & 0 \\ 0 & 0 & y_\tau \end{pmatrix}, \quad M_D = y_D v_u \begin{pmatrix} 1 & 0 & 0 \\ 0 & 0 & 1 \\ 0 & 1 & 0 \end{pmatrix}$$

- Altarelliらのモデルを改良

- 右巻きマヨラナニュートリノの質量行列

$$M_N = y_{\phi_S} v_S \begin{pmatrix} 0 & 1 & 1 \\ 1 & 0 & 1 \\ 1 & 1 & 0 \end{pmatrix} + y_{\xi} u \begin{pmatrix} 1 & 0 & 0 \\ 0 & 0 & 1 \\ 0 & 1 & 0 \end{pmatrix} + y_{\xi'} u' \begin{pmatrix} 0 & 0 & 1 \\ 0 & 1 & 0 \\ 1 & 0 & 0 \end{pmatrix}$$

- シーソー機構を用いることにより、左巻きマヨラナニュートリノの質量行列が得られる

$$M_{\nu} = a \begin{pmatrix} 1 & 0 & 0 \\ 0 & 1 & 0 \\ 0 & 0 & 1 \end{pmatrix} + b \begin{pmatrix} 1 & 1 & 1 \\ 1 & 1 & 1 \\ 1 & 1 & 1 \end{pmatrix} + c \begin{pmatrix} 1 & 0 & 0 \\ 0 & 0 & 1 \\ 0 & 1 & 0 \end{pmatrix} + d \begin{pmatrix} 0 & 0 & 1 \\ 0 & 1 & 0 \\ 1 & 0 & 0 \end{pmatrix}$$

- $\theta_{13} \neq 0$ となるレプトンモデルが構築できた

3. フレーバー現象論とコライダー物理

- これまで非可換離散対称性を用いた様々なレプトンやクォークのフレーバーモデルの先行研究がある

H. Ishimori, T. Kobayashi, H. Ohki, H. Okada, Y. S., and M. Tanimoto,
Prog. Theor. Phys. Suppl. 183 (2010) 1; Lect. Notes Phys. 858 (2012) 1

- 非可換離散対称性を用いたフレーバーモデルの検証可能性が重要

- 非可換離散対称性を破るスカラー場 (flavon) に注目した

Y. Muramatsu, T. Nomura and Y.S., JHEP 1603 (2016) 192

標準モデルのヒッグス粒子と関連した先行研究はあるが。。。

M. Holthausen, M. Lindner and M. A. Schmidt, Phys. Rev. D 87 (2013) 3, 033006;

I. de Medeiros Varzielas, O. Fischer and V. Maurer, JHEP 1508 (2015) 080;

T. Kobayashi, Y. Omura, F. Takayama and D. Yasuhara, JHEP 1510 (2015) 042;

I. d. M. Varzielas and O. Fischer, JHEP 1601 (2016) 160

- スカラー場 (flavon) のポテンシャル解析

- スカラー場の真空構造を解析するために”driving field”と呼ばれる $U(1)_R$ 荷電 +2を持ったスカラー場を導入

	l	e^c	μ^c	τ^c	ν^c	$h_{u,d}$	ϕ_T	ϕ_S	ξ	ξ'	ϕ_0^T	ϕ_0^S	ξ_0
$SU(2)$	2	1	1	1	1	2	1	1	1	1	1	1	1
A_4	3	1	1''	1'	3	1	3	3	1	1'	3	3	1
Z_3	ω	ω^2	ω^2	ω^2	ω^2	1	1	ω^2	ω^2	ω^2	1	ω^2	ω^2
$U(1)_R$	1	1	1	1	1	0	0	0	0	0	2	2	2

- $A_4 \times Z_3$ 不変なスカラー場のスーパーポテンシャル

$$w_d \equiv w_d^T + w_d^S,$$

$$w_d^T = -M \phi_0^T \phi_T + g \phi_0^T \phi_T \phi_T,$$

$$w_d^S = g_1 \phi_0^S \phi_S \phi_S - g_2 \phi_0^S \phi_S \xi + g_2' \phi_0^S \phi_S \xi' + g_3 \xi_0 \phi_S \phi_S - g_4 \xi_0 \xi \xi$$

• $A_4 \times Z_3$ 不変なスカラー場のスーパーポテンシャル

$$\phi_T = (\phi_{T1}, \phi_{T2}, \phi_{T3}), \quad \phi_S = (\phi_{S1}, \phi_{S2}, \phi_{S3}),$$

$$\phi_0^T = (\phi_{01}^T, \phi_{02}^T, \phi_{03}^T), \quad \phi_0^S = (\phi_{01}^S, \phi_{02}^S, \phi_{03}^S)$$

$$\begin{aligned} w_d^T &= -M (\phi_{01}^T \phi_{T1} + \phi_{02}^T \phi_{T3} + \phi_{03}^T \phi_{T2}) \\ &+ \frac{2g}{3} [\phi_{01}^T (\phi_{T1}^2 - \phi_{T2} \phi_{T3}) + \phi_{02}^T (\phi_{T2}^2 - \phi_{T1} \phi_{T3}) + \phi_{03}^T (\phi_{T3}^2 - \phi_{T1} \phi_{T2})], \\ w_d^S &= \frac{2g_1}{3} [\phi_{01}^S (\phi_{S1}^2 - \phi_{S2} \phi_{S3}) + \phi_{02}^S (\phi_{S2}^2 - \phi_{S1} \phi_{S3}) + \phi_{03}^S (\phi_{S3}^2 - \phi_{S1} \phi_{S2})] \\ &- g_2 (\phi_{01}^S \phi_{S1} + \phi_{02}^S \phi_{S3} + \phi_{03}^S \phi_{S2}) \xi + g'_2 (\phi_{01}^S \phi_{S3} + \phi_{02}^S \phi_{S2} + \phi_{03}^S \phi_{S1}) \xi' \\ &+ g_3 \xi_0 (\phi_{S1}^2 + 2\phi_{S2} \phi_{S3}) - g_4 \xi_0 \xi^2 \end{aligned}$$

● スカラーポテンシャル

$$V \equiv V_T + V_S,$$

$$V_T = \sum_i \left| \frac{\partial w_d^T}{\partial \phi_{0i}^T} \right|^2 + h.c.$$

$$= 2 \left| -M\phi_{T1} + \frac{2g}{3} (\phi_{T1}^2 - \phi_{T2}\phi_{T3}) \right|^2 + 2 \left| -M\phi_{T3} + \frac{2g}{3} (\phi_{T2}^2 - \phi_{T1}\phi_{T3}) \right|^2 \\ + 2 \left| -M\phi_{T2} + \frac{2g}{3} (\phi_{T3}^2 - \phi_{T1}\phi_{T2}) \right|^2,$$

$$V_S = \sum \left| \frac{\partial w_d^S}{\partial X} \right|^2 + h.c. \quad (X = \phi_{0i}^S, \xi_0)$$

$$= 2 \left| \frac{2g_1}{3} (\phi_{S1}^2 - \phi_{S2}\phi_{S3}) - g_2\phi_{S1}\xi + g'_2\phi_{S3}\xi' \right|^2 + 2 \left| \frac{2g_1}{3} (\phi_{S2}^2 - \phi_{S1}\phi_{S3}) - g_2\phi_{S3}\xi + g'_2\phi_{S2}\xi' \right|^2 \\ + 2 \left| \frac{2g_1}{3} (\phi_{S3}^2 - \phi_{S1}\phi_{S2}) - g_2\phi_{S2}\xi + g'_2\phi_{S1}\xi' \right|^2 + 2 |g_3 (\phi_{S1}^2 + 2\phi_{S2}\phi_{S3}) - g_4\xi^2|^2$$

- ϕ_T の VEV はポテンシャルの最小値 ($V_T = 0$) から導かれる

$$\langle \phi_T \rangle = v_T(1, 0, 0), \quad v_T = \frac{3M}{2g}$$

- ϕ_S の VEV はポテンシャルの最小値 ($V_S = 0$) から導かれる

$$\langle \phi_S \rangle = v_S(1, 1, 1), \quad \langle \xi \rangle = u, \quad \langle \xi' \rangle = u',$$

$$v_S^2 = \frac{g_4}{3g_3} u^2, \quad u' = \frac{g_2}{g_2'} u$$

- $\theta_{13} \neq 0$ となるレプトン模型の VEV が得られた

- スカラー場 (flavon) の質量

- スカラー場 (flavon) を VEV V_T 周りで展開する

$$\phi_T = (\phi_{T1}, \phi_{T2}, \phi_{T3}) \rightarrow (v_T + \varphi_{T1}, \varphi_{T2}, \varphi_{T3})$$

- スカラー場 (flavon) の質量項

$$V_T^{\text{mass}} = 2M^2 \left(|\varphi_{T1}|^2 + 4|\varphi_{T2}|^2 + 4|\varphi_{T3}|^2 \right)$$

- スカラー場 (flavon) の質量 $m_{\varphi_{Ti}}$

$$(m_{\varphi_{T1}}^2, m_{\varphi_{T2}}^2, m_{\varphi_{T3}}^2) = (2M^2, 8M^2, 8M^2)$$

- スカラー場 (flavon) の質量の関係

$$2m_{\varphi_{T1}} = m_{\varphi_{T2}} = m_{\varphi_{T3}} = 2\sqrt{2}M$$

- フレーバー現象論

- 荷電レプトンの質量行列は**対角的**
- 荷電レプトンとスカラー場 (flavon) の相互作用のラグランジアン

$$\begin{aligned}\mathcal{L}_\ell^{\text{FY}} = & (\bar{e}_L \quad \bar{\mu}_L \quad \bar{\tau}_L) \begin{pmatrix} \frac{m_e}{v_T} & 0 & 0 \\ 0 & \frac{m_\mu}{v_T} & 0 \\ 0 & 0 & \frac{m_\tau}{v_T} \end{pmatrix} \begin{pmatrix} e_R \\ \mu_R \\ \tau_R \end{pmatrix} \varphi_{T1} \\ & + (\bar{e}_L \quad \bar{\mu}_L \quad \bar{\tau}_L) \begin{pmatrix} 0 & \frac{m_\mu}{v_T} & 0 \\ 0 & 0 & \frac{m_\tau}{v_T} \\ \frac{m_e}{v_T} & 0 & 0 \end{pmatrix} \begin{pmatrix} e_R \\ \mu_R \\ \tau_R \end{pmatrix} \varphi_{T2} \\ & + (\bar{e}_L \quad \bar{\mu}_L \quad \bar{\tau}_L) \begin{pmatrix} 0 & 0 & \frac{m_\tau}{v_T} \\ \frac{m_e}{v_T} & 0 & 0 \\ 0 & \frac{m_\mu}{v_T} & 0 \end{pmatrix} \begin{pmatrix} e_R \\ \mu_R \\ \tau_R \end{pmatrix} \varphi_{T3} + h.c..\end{aligned}$$

φ_{T1} はフレーバーの破れを**起こさない**がそれ以外のスカラー場 (flavon) は**起こす**

- 残存 Z_3 対称性とレプトンフレーバーの破れ

- A_4 群は2つの生成子で定義され、次のような代数関係を満たす

$$S^2 = T^3 = (ST)^3 = 1$$

- 1次元表現
 - $\mathbf{1} : S = 1, T = 1,$
 - $\mathbf{1}' : S = 1, T = e^{4\pi i/3} \equiv \omega^2,$
 - $\mathbf{1}'' : S = 1, T = e^{2\pi i/3} \equiv \omega$

- 3次元表現
 - $\mathbf{3} : T = \begin{pmatrix} 1 & 0 & 0 \\ 0 & \omega^2 & 0 \\ 0 & 0 & \omega \end{pmatrix}, S = \frac{1}{3} \begin{pmatrix} -1 & 2 & 2 \\ 2 & -1 & 2 \\ 2 & 2 & -1 \end{pmatrix}$

- $\langle \phi_T \rangle = v_T(1, 0, 0)$ は A_4 を Z_3 に破る

- $\langle \phi_S \rangle = v_S(1, 1, 1)$ は A_4 を Z_2 に破る

- 残存 Z_3 対称性とレプトンフレーバーの破れ

- スカラー場 (flavon) は残存 Z_3 対称性の下、次のように変換する

$$\varphi_{T1} \rightarrow \varphi_{T1}, \quad \varphi_{T2} \rightarrow \omega^2 \varphi_{T2}, \quad \varphi_{T3} \rightarrow \omega \varphi_{T3}$$

- 左巻き荷電レプトンは残存 Z_3 対称性の下、次のように変換する

$$e_L \rightarrow e_L, \quad \mu_L \rightarrow \omega \mu_L, \quad \tau_L \rightarrow \omega^2 \tau_L$$

- 右巻き荷電レプトンは残存 Z_3 対称性の下、次のように変換する

$$e_R \rightarrow e_R, \quad \mu_R \rightarrow \omega \mu_R, \quad \tau_R \rightarrow \omega^2 \tau_R$$

- 残存 Z_3 対称性により、レプトンフレーバーの破れを引き起こす崩壊モードの多くを禁止できる ($\mu \rightarrow e\gamma$ など)

3体崩壊のレプトンフレーバーの破れを考える

- 残存 Z_3 対称性とレプトンフレーバーの破れ

3体崩壊のレプトンフレーバーの破れの崩壊分岐比

$$\text{BR}(\tau \rightarrow \mu\mu\bar{e}) = \tau_\tau \frac{m_\tau^5}{3072\pi^3} \left(\left| \frac{m_\tau m_\mu}{v_T^2 m_{\varphi_{T2}}^2} \right|^2 + \left| \frac{m_\mu m_e}{v_T^2 m_{\varphi_{T3}}^2} \right|^2 \right) \simeq \frac{2.9 \times 10^6 \text{ GeV}^8}{v_T^4 (2\sqrt{2}M)^4},$$

$$\text{BR}(\tau \rightarrow ee\bar{\mu}) = \tau_\tau \frac{m_\tau^5}{3072\pi^3} \left(\left| \frac{m_\mu m_e}{v_T^2 m_{\varphi_{T2}}^2} \right|^2 + \left| \frac{m_\tau m_e}{v_T^2 m_{\varphi_{T3}}^2} \right|^2 \right) \simeq \frac{68 \text{ GeV}^8}{v_T^4 (2\sqrt{2}M)^4}$$

Belle実験の下限値 K. Hayasaka et al., Phys. Lett. B 687, 139 (2010)

$$\text{BR}(\tau \rightarrow \mu\mu\bar{e}) < 1.7 \times 10^{-8}, \quad \text{BR}(\tau \rightarrow ee\bar{\mu}) < 1.5 \times 10^{-8}$$

スカラー場 (flavon) の質量の制限 ($v_T = m_{\varphi_{T2,T3}}$)

$$m_{\varphi_{T2,T3}} = 2\sqrt{2}M \gtrsim 60 \text{ GeV}$$

崩壊分岐比の比

$$r = \frac{\text{BR}(\tau \rightarrow \mu\mu\bar{e})}{\text{BR}(\tau \rightarrow ee\bar{\mu})} = \frac{m_\mu^2 (m_\tau^2 + m_e^2)}{m_e^2 (m_\mu^2 + m_\tau^2)} \simeq \frac{m_\mu^2}{m_e^2} \simeq 4.3 \times 10^4$$

- コライダー物理

- $\varphi_{T2}, \varphi_{T3}$ を通じた4体フェルミ相互作用の有効ラグランジアン

$$\mathcal{L}_{4\text{-fermi}} \supset \frac{m_\mu^2}{64M^4} (\bar{\mu}_R e_L) (\bar{e}_L \mu_R) + \frac{m_\tau^2}{64M^4} (\bar{\tau}_R e_L) (\bar{e}_L \tau_R) + h.c.$$

- LEPデータからのスカラー場 (flavon) の質量の制限

$$(2\sqrt{2}M)^2 \gtrsim 620m_\tau \text{ GeV}$$

t. S. Electroweak, hep-ex/0312023

$$m_{\varphi_{T2,T3}} = 2\sqrt{2}M \gtrsim 33 \text{ GeV}$$

τ の3体崩壊のレプトンフレーバーの破れからの制限の方が強い

$$m_{\varphi_{T2,T3}} = 2\sqrt{2}M \gtrsim 60 \text{ GeV}$$

- コライダー物理

- φ_{Ti} は荷電レプトンからの放射を通してハドロンコライダーにより生成される ex) $pp \rightarrow \varphi_{Ti} \bar{l} l'$, $pp \rightarrow \varphi_{Ti} \bar{l} \nu(l\bar{\nu})$ ($l = e, \mu, \tau$)

- 生成されたスカラー場 (flavon) はレプトン対に崩壊する

$$\varphi_{T1} \rightarrow \tau \bar{\tau}, \quad \varphi_{T2} \rightarrow \mu \bar{\mu}, \quad \varphi_{T3} \rightarrow e \bar{e}$$

- LHC 14 TeVにおけるスカラー場 (flavon) の生成断面積

$$(v_T = 2m_{\varphi_{T1}} = m_{\varphi_{T2}} = m_{\varphi_{T3}} = 65 \text{ GeV}, \quad \text{CalcHEP})$$

Final state	$\varphi_{T1} \tau \bar{\tau}$	$\varphi_{T2} \tau \bar{\mu}$	$\varphi_{T3} \tau \bar{e}$	$\varphi_{T2} \tau \bar{\nu}_\mu$	$\varphi_{T3} \tau \bar{\nu}_e$
Cross section [fb]	0.59	0.017	0.017	0.040	0.040

φ_{T1} の生成断面積は $\mathcal{O}(1)$ fb, φ_{T2} , φ_{T3} は $\mathcal{O}(10^{-2})$ fb

- φ_{T1} はLHC run 2において、 $4\text{-}\tau$ のシグナルで見つかる可能性が！

4. まとめ

- ニュートリノ振動実験により、標準模型を超える新しい物理の手がかりを探ることができる
- フレーバー対称性として非可換離散対称性を用いることにより、レプトンの大きな世代混合を導くことができる
- A_4 群の $1'$ により $\theta_{13} \neq 0$ となるレプトンモデルが構築できた
- 残存 Z_3 対称性により、レプトンフレーバーの破れを引き起こす崩壊モードの多くを禁止できる ($\mu \rightarrow e\gamma$ など)
- スカラー場 (flavon) の質量の制限 (τ の3体崩壊)

$$m_{\varphi_{T2,T3}} = 2\sqrt{2}M \gtrsim 60 \text{ GeV}$$

- φ_{T1} はLHC run 2において、 $4-\tau$ のシグナルで見つかる可能性が！

Buck Up

- スカラー場 (flavon) のポテンシャル

$$\begin{aligned}
 V_T = & 2M^2 \left(|\varphi_{T1}|^2 + 4|\varphi_{T2}|^2 + 4|\varphi_{T3}|^2 \right) \\
 & + \frac{2M^2}{v_T} \left[(\varphi_{T1} + \varphi_{T1}^*) \left(|\varphi_{T1}|^2 + 2|\varphi_{T2}|^2 + 2|\varphi_{T3}|^2 \right) \right. \\
 & \quad - (\varphi_{T1}\varphi_{T2}^*\varphi_{T3}^* + \varphi_{T1}^*\varphi_{T2}\varphi_{T3}) \\
 & \quad \left. - 2(\varphi_{T2}^2\varphi_{T3}^* + \varphi_{T2}^{*2}\varphi_{T3}) - 2(\varphi_{T2}\varphi_{T3}^{*2} + \varphi_{T2}^*\varphi_{T3}^2) \right] \\
 & + \frac{2M^2}{v_T^2} \left[|\varphi_{T1}|^4 + |\varphi_{T2}|^4 + |\varphi_{T3}|^4 \right. \\
 & \quad + |\varphi_{T1}|^2|\varphi_{T2}|^2 + |\varphi_{T2}|^2|\varphi_{T3}|^2 + |\varphi_{T3}|^2|\varphi_{T1}|^2 \\
 & \quad - (\varphi_{T1}^2\varphi_{T2}^*\varphi_{T3}^* + \varphi_{T1}^{*2}\varphi_{T2}\varphi_{T3}) \\
 & \quad - (\varphi_{T1}\varphi_{T2}^{*2}\varphi_{T3} + \varphi_{T1}^*\varphi_{T2}^2\varphi_{T3}^*) \\
 & \quad \left. - (\varphi_{T1}\varphi_{T2}\varphi_{T3}^{*2} + \varphi_{T1}^*\varphi_{T2}^*\varphi_{T3}^2) \right]
 \end{aligned}$$